

Practical Course on Molecular Dynamics and Trajectory Analysis

Episode 1: Introduction (environment and data)

Jordi Villà i Freixa

Universitat de Vic - Universitat Central de Catalunya
Facultat de Ciències, Tecnologia i Enginyeries (FCTE)

jordi.villa@uvic.cat

MD Course and Trajectory Analysis
Concepcion, January 2026

Contents

1 Episode 1: Introduction (environment and data)

- OpenMM application layer
- Overview and scales
- State variables and states
- Entropy and free energy
- Ensembles and partitioning
- Hamiltoniano y dinámica
- Fuerzas y gradientes
- Partición y probabilidades
- Distribución de Boltzmann
- Espacio de fases y ergodicidad
- Superficie de energía potencial
- Campos de fuerza
- Environment and data

OpenMM general workflow

- Load PDB/GROMACS/AMBER/CHARMM/TINKER structures with the official scripts (e.g., `simulatePdb.py`, `simulateGromacs.py`, `simulateAmber.py`, and `simulateCharmm.py`).
- Create the Topology, System, and Integrator objects and wire StateReporter/TrajectoryReporter to capture energies, forces, and coordinates.
- Execute integration steps defined by the application layer and save checkpoints with the OpenMM-Setup routines (User Guide §3.5–3.15).

External inputs

- `simulateAmber.py` accepts '`.prmtop`' + '`.inpcrd`', while `simulateCharmm.py` and `simulateGromacs.py` respect their native formats.
- `simulatePdb.py` is the traditional starting point for alanine dipeptide or unparameterized protein–ligand systems.
- All scripts expose hooks to tweak reporters and shape output formats that we then process with Python analysis scripts.

Episode objectives

- Link thermodynamics, statistical mechanics, and simulation.
- Define variables, state functions, and observables.
- Establish the data flow and working environment.

Time and length scales

$$\Delta t_{\text{vibrations}} \sim 10^{-15} \text{ s},$$

$$\Delta t_{\text{conformations}} \sim 10^{-9} \text{ s to } 10^{-3} \text{ s},$$

$$L_{\text{atoms}} \sim 10^{-10} \text{ m}, \quad L_{\text{proteins}} \sim 10^{-8} \text{ m}.$$

- Atomic simulation resolves ultra-fast scales.
- Statistics link microstates to macroscopic averages.

Microscopic model

State = $(\mathbf{r}_1, \dots, \mathbf{r}_N, \mathbf{p}_1, \dots, \mathbf{p}_N)$,

$$\mathbf{p}_i = m_i \dot{\mathbf{r}}_i.$$

- The system is defined by $6N$ phase-space coordinates.
- Potential energy captures the interactions between particles.

From micro to macro

$$\langle A \rangle = \int A(\mathbf{r}, \mathbf{p}) \rho(\mathbf{r}, \mathbf{p}) d\mathbf{r} d\mathbf{p},$$

$$\bar{A} = \lim_{T \rightarrow \infty} \frac{1}{T} \int_0^T A(t) dt.$$

- Ergodicity links time averages with ensemble averages.

Simulation pipeline

- ① System preparation (topology, coordinates, parameters).
- ② Define the Hamiltonian and boundary conditions.
- ③ Time integration and trajectory generation.
- ④ Statistical analysis of observables.

State variables

$$P, V, T, U, H = U + PV, G = H - TS, A = U - TS.$$

- State functions depend only on the macroscopic state.
- Path functions include work W and heat Q .

First law and work

$$dU = \delta Q + \delta W,$$

$$\delta W = -P dV + \sum_i f_i dx_i.$$

- Internal energy changes through heat or work exchange.
- In simulation, δW arises from forces on particles.

Second law and entropy

$$dS \geq \frac{\delta Q}{T},$$
$$S = k_B \ln \Omega.$$

- Ω is the number of microstates compatible with the macrostate.

Thermodynamic potentials

$$G = U + PV - TS,$$

$$A = U - TS.$$

- G minimizes at constant T, P ; A minimizes at constant T, V .

Differential relations

$$dG = -S \, dT + V \, dP + \sum_i \mu_i \, dN_i,$$

$$dA = -S \, dT - P \, dV + \sum_i \mu_i \, dN_i.$$

- Partial derivatives give measurable observables.

Microstates and macrostates

$$S = k_B \ln \Omega, \quad \Omega = \sum_{\text{micro}} 1.$$

- Entropy increases favor states with more configurations.

Free energy and equilibrium

$$\Delta G = \Delta H - T\Delta S,$$

$$\Delta A = \Delta U - T\Delta S.$$

- At equilibrium, $\Delta G = 0$ for processes at fixed T, P .

Chemical potential

$$\mu_i = \left(\frac{\partial G}{\partial N_i} \right)_{T,P,N_j \neq i} .$$

- Controls matter exchange and phase equilibrium.

Relation to probabilities

$$P(\text{estado}) \propto e^{-\beta G}, \quad \beta = 1/(k_B T).$$

- Free energy governs the statistical weight of macrostates.

Example: equilibrium $A \rightleftharpoons B$

$$K = e^{-\beta \Delta G},$$
$$\Delta G = -k_B T \ln K.$$

- Relative stability is expressed in terms of ΔG .

Classical ensembles

- Microcanonical (NVE): N, V, E fixed.
- Canonical (NVT): N, V, T fixed.
- Isothermal-isobaric (NPT): N, P, T fixed.

Función de partición canónica

$$Z = \frac{1}{h^{3N} N!} \int e^{-\beta H(\mathbf{r}, \mathbf{p})} d\mathbf{r} d\mathbf{p}.$$

- Central para derivar energías libres y promedios.

Observables en NVT

$$\langle A \rangle = \frac{1}{Z} \int A e^{-\beta H} d\mathbf{r} d\mathbf{p}.$$

- En simulación, se estiman con promedios temporales.

Ensemble NPT

$$\Delta = \int dV e^{-\beta PV} Z(N, V, T),$$
$$G = -k_B T \ln \Delta.$$

- Incluye fluctuaciones de volumen controladas por el barostato.

Fluctuaciones termodinámicas

$$C_V = \frac{\langle E^2 \rangle - \langle E \rangle^2}{k_B T^2},$$
$$\kappa_T = \frac{\langle V^2 \rangle - \langle V \rangle^2}{k_B T \langle V \rangle}.$$

- Las fluctuaciones conectan estadística y respuesta macroscópica.

Hamiltoniano clásico

$$H(\mathbf{r}, \mathbf{p}) = \sum_{i=1}^N \frac{\mathbf{p}_i^2}{2m_i} + U(\mathbf{r}).$$

- Se separa en energía cinética y potencial.

Ecuaciones de Hamilton

$$\begin{aligned}\dot{\mathbf{r}}_i &= \frac{\partial H}{\partial \mathbf{p}_i}, \\ \dot{\mathbf{p}}_i &= -\frac{\partial H}{\partial \mathbf{r}_i}.\end{aligned}$$

- Equivalentes a la segunda ley de Newton.

Ecuaciones de Newton

$$m_i \ddot{\mathbf{r}}_i = -\nabla_i U(\mathbf{r}).$$

- La fuerza es el gradiente negativo del potencial.

Conservación de energía

$$\frac{dH}{dt} = 0 \quad (\text{NVE ideal}).$$

- La integración numérica introduce errores controlables.

Flujo en el espacio de fases

$$\frac{d\rho}{dt} = \{\rho, H\} = 0 \quad (\text{ecuación de Liouville}).$$

- La densidad de probabilidad se conserva en el flujo hamiltoniano.

Fuerzas a partir del potencial

$$\mathbf{F}_i = -\nabla_i U(\mathbf{r}).$$

- En MD, el coste dominante es evaluar U y \mathbf{F}_i .

Potenciales de pares

$$U = \sum_{i < j} u(r_{ij}), \quad r_{ij} = \|\mathbf{r}_i - \mathbf{r}_j\|.$$

- Simplifican la energía total con interacciones binarias.

Ejemplo: Lennard-Jones

$$u_{\text{LJ}}(r) = 4\epsilon \left[\left(\frac{\sigma}{r}\right)^{12} - \left(\frac{\sigma}{r}\right)^6 \right].$$

- Repulsión a corta distancia, atracción a media distancia.

Energía electrostática

$$u_C(r) = \frac{1}{4\pi\epsilon_0} \frac{q_i q_j}{r_{ij}}.$$

- Dominante en sistemas biomoleculares.

Gradientes y Hessiano

$$\nabla U \equiv \left(\frac{\partial U}{\partial r_1}, \dots, \frac{\partial U}{\partial r_{3N}} \right),$$

$$\text{Hess} = \nabla \nabla U.$$

- El Hessiano describe curvaturas locales (modos normales).

Separación cinética/potencial

$$Z = Z_{\text{kin}} Z_{\text{conf}},$$

$$Z_{\text{kin}} = \prod_i \left(\frac{2\pi m_i}{\beta h^2} \right)^{3/2}.$$

- Z_{conf} depende solo de $U(\mathbf{r})$.

Distribución de configuraciones

$$P(\mathbf{r}) = \frac{e^{-\beta U(\mathbf{r})}}{Z_{\text{conf}}}.$$

- Base del muestreo Monte Carlo y MD con termostato.

Energía libre configuracional

$$A = -k_B T \ln Z_{\text{conf}} + \text{const.}$$

- Relaciona el muestreo con ΔA entre estados.

Distribución de velocidades

$$P(\mathbf{v}) \propto e^{-\beta \sum_i \frac{1}{2} m_i v_i^2}.$$

- Permite inicializar velocidades a temperatura T .

Teorema de equipartición

$$\langle K \rangle = \frac{3N}{2} k_B T.$$

- Cada grado de libertad cuadrático aporta $\frac{1}{2} k_B T$.

Forma general

$$P(E) = \frac{1}{Z} e^{-\beta E}.$$

- El peso exponencial penaliza estados de alta energía.

Distribución de Maxwell-Boltzmann

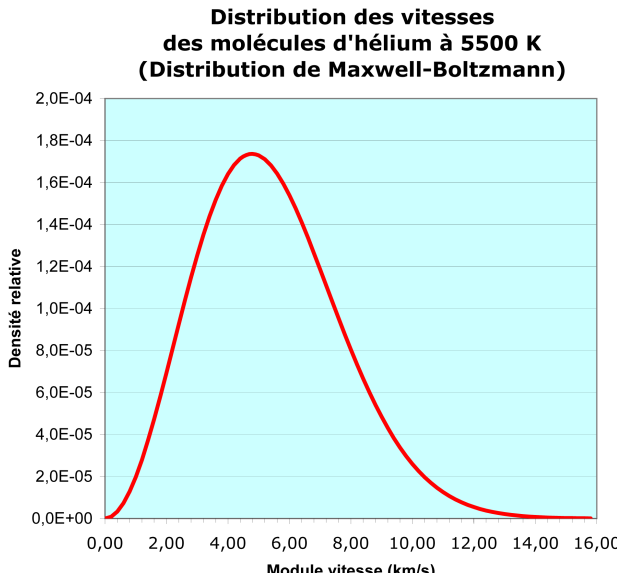
$$f(v) = 4\pi \left(\frac{m}{2\pi k_B T} \right)^{3/2} v^2 e^{-\frac{mv^2}{2k_B T}}.$$

- Caracteriza la distribución de velocidades en equilibrio.

Interpretación estadística

- La mayoría de partículas se agrupan alrededor de v_m .
- El ensanchamiento crece con T .

Ejemplo gráfico



Aplicación en simulación

- Inicializar velocidades según $f(v)$ evita sesgos térmicos.
- Permite comprobar que el termostato reproduce el equilibrio.

Espacio de fases

$$\Gamma = (\mathbf{r}, \mathbf{p}) \in \mathbb{R}^{6N}.$$

- Cada punto representa un microestado completo.

Ecuación de Liouville

$$\frac{\partial \rho}{\partial t} + \{\rho, H\} = 0.$$

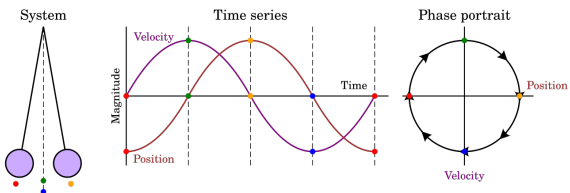
- El volumen en Γ se conserva (teorema de Liouville).

Ergodicidad

$$\lim_{T \rightarrow \infty} \frac{1}{T} \int_0^T A(t) dt = \langle A \rangle_{\text{ensemble}}.$$

- Supuesto clave para sustituir promedios de conjunto por tiempo.

Trayectorias en Γ



Fuente: Wikimedia Commons (CC BY-SA 4.0). [2]

Interpretación física

- Órbitas cerradas: movimiento periódico.
- Órbitas abiertas: difusión en regiones de alta energía.

Definición

$$U(\mathbf{r}) : \mathbb{R}^{3N} \rightarrow \mathbb{R}.$$

- Describe el paisaje energético donde se mueve el sistema.

Coordenadas de reacción

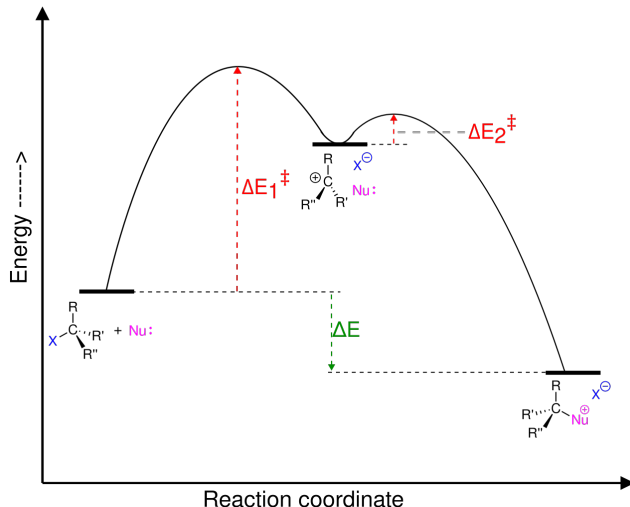
$$\xi = \xi(\mathbf{r}), \quad F(\xi) = -k_B T \ln P(\xi).$$

- Proyección que resume la dinámica en una coordenada clave.

Barreras y estados metaestables

- Mínimos locales: conformaciones metaestables.
- Barreras: controlan las escalas de transición.

Ejemplo de superficie



Fuente: Wikimedia Commons (CC BY-SA 4.0). [4]

Dinámica sobre la superficie

- Integración clásica produce trayectorias en $U(\mathbf{r})$.
- Los termostatos aseguran muestreo canónico.

Descomposición del potencial

$$U = U_{\text{bond}} + U_{\text{angle}} + U_{\text{dihedral}} + U_{\text{nonbond}}.$$

- Separación entre términos enlazados y no enlazados.

Términos enlazados

$$U_{\text{bond}} = \sum_b k_b (r_b - r_b^0)^2,$$

$$U_{\text{angle}} = \sum_a k_a (\theta_a - \theta_a^0)^2.$$

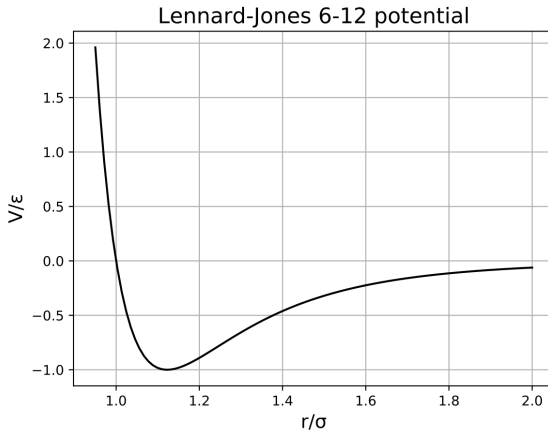
- Aproximación armónica alrededor de geometrías de equilibrio.

Dihedros y rotación

$$U_{\text{dihedral}} = \sum_d \frac{V_d}{2} [1 + \cos(n_d \phi_d - \gamma_d)] .$$

- Controlan barreras rotacionales y preferencias conformacionales.

Ejemplo LJ



Fuente: Wikimedia Commons (CC BY-SA 4.0). [1]

Parámetros y validación

- Los campos de fuerza se ajustan a datos cuánticos y experimentales.
- La validación incluye densidades, energías y conformaciones.

Working directory

- Environment variable COURSE_DIR.
- Structure: data/ (inputs) and results/ (outputs).

Course systems

- Simple system: alanine.
- Complex system: protein + ligand.

Data flow

- ① Download base data.
- ② Prepare topologies and coordinates.
- ③ Validate the computing environment.

Reproducibility

- Track library versions and random seeds.
- Save input files and scripts.

Episode summary

- The thermodynamic groundwork connects to statistical sampling.
- The potential defines forces and probabilities.
- The working environment ensures reproducibility.

References |

- [1] AdiPhysics. *Lennard Jones potential graph*. CC BY-SA 4.0. URL: https://commons.wikimedia.org/wiki/File:Lennard_Jones_potential_graph.svg (visited on 01/12/2026).
- [2] Krishnavedala. *Pendulum phase portrait illustration*. CC BY-SA 4.0. URL: https://commons.wikimedia.org/wiki/File:Pendulum_phase_portrait_illustration.svg (visited on 01/12/2026).
- [3] Gilles MAIRET. *Distribution de Maxwell-Boltzmann. Distribution des vitesses de l'helium a 5500 K*. CC BY-SA 3.0. URL: https://commons.wikimedia.org/wiki/File:Distribution_de_Maxwell-Boltzmann._Distribution_des_vitesses_de_l%27helium_%C3%A0_5500_K.png (visited on 01/12/2026).

References II

- [4] Unknown author. *Potential Energy Surface for a generic SN1 reaction.* CC BY-SA 4.0. Source: LibreTexts (Organic Chemistry, Morsch et al.) URL: https://commons.wikimedia.org/wiki/File:Potential_Energy_Surface_for_a_generic_SN1_reaction.svg (visited on 01/12/2026).